

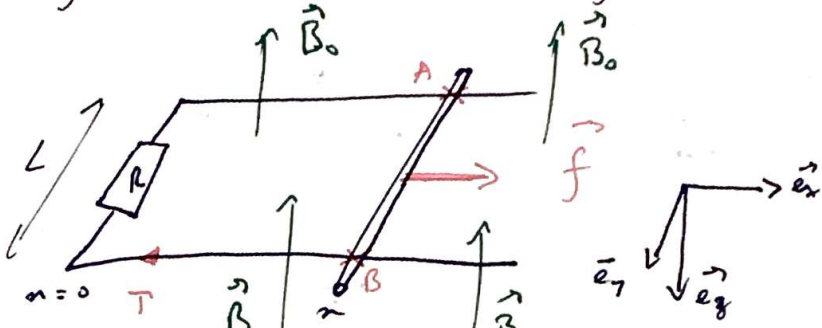
# Circuit mobile dans un champ magnétique stationnaire

## I Etude du rail de Léphar :

### ① Conversion de puissance mécanique en puissance électrique

#### Etude du rail de Léphar :

Soit  $R$  la résistance du circuit,  $m$  la masse du bancin. Un système applique une force  $f$  sur le bancin



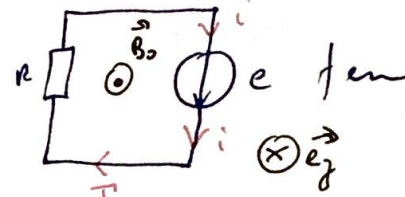
$$\text{ex: } mg \sin(\alpha)$$

Le circuit fait  $\frac{\partial \phi}{\partial t}$  vers z  $\phi < 0$  et  $\phi \downarrow$  modèle électrique:

$$e = -\frac{d\phi}{dt} > 0$$

\* Équation électrique:

$$\phi(t) = B_0 \cdot S = (-B_0 \vec{e}_z) \cdot (L \cdot n) \vec{e}_z = -B_0 L n$$



$$e = -\frac{d\phi}{dt} = B_0 L n$$

$$e = B_0 L n$$

+ Voir  $e = \int \vec{E} \cdot d\vec{l}$

$$i = \frac{e}{R} \quad i = \frac{B_0 L}{R} n$$

\* Équation mécanique:

$$\text{BDF: } \vec{P} + \vec{R_N} = \vec{0} \quad \text{pas de frottement}$$

$\otimes f$ : action du système extérieur  $\vec{f} = f \vec{e}_x$

$$\vec{F}_{\text{Léphar}} = \int i d\vec{l} \wedge \vec{B}_0 = i \int_0^L dy \vec{e}_y \wedge (-B_0 \vec{e}_z)$$

$$\vec{F}_{\text{Léphar}} = -B_0 i L \vec{e}_x$$

$$\text{Soit PFD: } m \ddot{o}i = f - B_0 i L$$

du  $\alpha$  donc le système:

$$m \frac{d\alpha}{dt} = f - B_0 i L$$

$$i = \frac{B_0 L}{R} \alpha$$

$$e = ri$$

$$\left. \begin{array}{l} i \propto \alpha \\ \text{et } \vec{F}_{\text{Léphar}} \propto i \end{array} \right\} \vec{F}_{\text{Léphar}} = -\lambda \vec{\alpha}$$

$\Rightarrow$  freinage par induction.

$$\lambda = \frac{B_0^2 L^2}{R}$$

|| Se généralise en cas de l'onde dans un système conducteur

## \* Etude du système :

①  $\dot{\delta}(0) = 0 \quad \vec{f} = \vec{f}_{\text{ext}}$

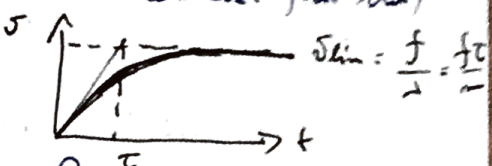
$$\begin{aligned} v^h &= K e^{-\frac{t}{\tau}} \\ v^r &= \frac{f\tau}{m} \end{aligned}$$

Re:  $i(t) = \frac{f}{B_0 L} \left[ 1 - e^{-\frac{t}{\tau}} \right]$

$$\text{Soit } \delta(t) = \frac{f\tau}{m} + K e^{-\frac{t}{\tau}} \quad \delta(0) = 0 = \frac{f\tau}{m} + K \quad K = -\frac{f\tau}{m}$$

$$\boxed{\delta(t) = \frac{f\tau}{m} \left[ 1 - e^{-\frac{t}{\tau}} \right]}$$

(chute verticale avec freinage)



②  $\dot{\delta}(0) = \delta_0 \quad f = 0$

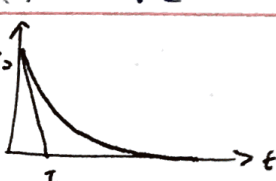
On lance le bateau du la chp  $B_0$ .

$$\frac{d\delta}{dt} = -\frac{1}{m} \delta$$

$$\delta = K e^{-\frac{t}{\tau}} \quad \delta(0) = \delta_0 = K$$

$i(t) = \frac{B_0 L \delta_0}{R} e^{-\frac{t}{\tau}}$

$$\boxed{\delta(t) = \delta_0 e^{-\frac{t}{\tau}}}$$



## \* Bilan de Puissance:

Électrique:  $L Dm \times i \quad e = Ri \rightarrow e i = R i^2$

$$\hookrightarrow P_{\text{fem}} = B_i L \cdot \delta$$

$$P_{\text{fem}} = P_{\text{dis}}$$

Mécanique: PFD  $\propto \delta \quad \left( m \frac{d\delta}{dt} = f + F_{\text{hyp}} \right) \delta \quad \frac{d}{dt} \left( \frac{1}{2} m \delta^2 \right) = f \cdot \delta + F_{\text{hyp}} \cdot \delta$

$$f \cdot \delta = -F_{\text{hyp}} \cdot \delta + \frac{dE_c}{dt}$$

$$\boxed{P_{\text{op}} = -F_{\text{hyp}} + \frac{dE_c}{dt}}$$

$$P_{\text{hyp}} = -B_i L \delta = -P_{\text{fem}}$$

$$\boxed{P_{\text{op}} + P_{\text{fem}} = 0}$$

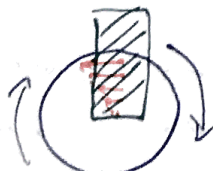
Cette égalité est toujours vérifiée.

Conversion électromécanique

Sur niveau du bateau, une partie de la puissance mécanique est transformée en puissance électrique qui sera dissipée dans le circuit.

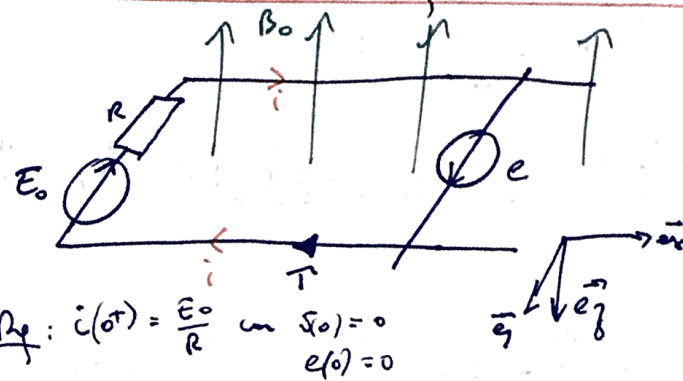
$$\boxed{P_{\text{op}} = P_{\text{dis}} + \frac{dE_c}{dt}}$$

ex: Supercondensateur: dans certains bus l'énergie cinétique est transformée en fém par le freinage du bateau pour charger un condensateur et être réutilisée.



\* métro freinage = fém qui alimente la ligne

## ② Conversion électrique en puissance mécanique: (e) → (m)



\*)  $E_0$  électrique:

$$E_0 = R i - e \quad \text{ou} \quad e = -\frac{d\phi}{dt}$$

$$\phi = -B_0 L \alpha \quad e = B_0 L \dot{\alpha} \quad \text{co} \quad \text{A}$$

\*)  $E_0$  mécanique vitesse  $m \frac{d\omega}{dt} = F_{\text{Frap}} = -B_0 i L$

$$E_0 = R i - B_0 L \dot{\omega}$$

valeur  $m \frac{d\omega}{dt} = -B_0 i L$

\*)  $E_0$  complexe.

\*) Loi du Sistem:  $i = \frac{E_0}{R} + \frac{B_0 L}{R} \omega$

S'it  $m \frac{d\omega}{dt} = -\frac{B_0 E_0 L}{R} - \left( \frac{B_0^2 L^2}{R} \right) \omega$

$$\frac{d\omega}{dt} + \frac{1}{\tau} \omega = -\frac{B_0 L E_0}{m R}$$

avec  $\tau = \frac{m R}{B_0^2 L^2}$

\* SH:  $\omega^h = K e^{-\frac{t}{\tau}}$

SP:  $\omega^r = -\frac{B_0 L E_0}{m R} \cdot \frac{m R}{B_0^2 L^2} = -\frac{E_0}{B_0 L}$  valeur  $\omega(t) = -\frac{E_0}{B_0 L} + K e^{-\frac{t}{\tau}}$ .

$\omega(0) = 0$  au ferme l'interrupteur à  $t=0$   $\omega(0) = -\frac{E_0}{B_0 L} + K = 0 \quad K = \frac{E_0}{B_0 L}$

valeur  $\omega(t) = -\frac{E_0}{B_0 L} \left( 1 - e^{-\frac{t}{\tau}} \right)$

Ex: Si on change le signe de  $E_0$  ou de  $B_0$

$(\omega_{\text{lim}} = -\frac{E_0}{B_0 L})$

$i(t) = \frac{m}{B_0 L} \frac{d\omega}{dt} = +\frac{E_0 m}{B_0^2 L^2 \tau} e^{-\frac{t}{\tau}}$

valeur  $i(t) = \frac{E_0}{R} e^{-\frac{t}{\tau}}$

le bateau part de l'autre sens à vitesse constante.

\*) Bilan de Puissance LDN × i  $E_0 i + e_i = R i^2$

$P_{\text{gen}} + P_{\text{fém}} = P_{\text{fém}}$

PFD  $\Rightarrow \omega \quad m \omega \frac{d\omega}{dt} = F_{\text{Frap}} \omega$

$\frac{dE_c}{dt} = P_{\text{Frap}} = -P_{\text{fém}}$

$e_i = B_0 i L \omega = -F_{\text{Frap}} \omega$

$P_{\text{Frap}} + P_{\text{fém}} = 0$

$P_{\text{gen}} = P_{\text{fém}} + \frac{dE_c}{dt}$

\* Bilan d' NRS: ①  $\mathcal{P}_{\text{op}} = f \cdot i = \frac{f^2}{m} \left[ 1 - e^{-\frac{t}{\tau}} \right]$

 $i = \frac{B_0 L}{R} v$ 
 $\mathcal{P}_{\text{dim}} = R i^2 = \frac{R B_0^2 L^2}{m^2} \cdot \frac{f^2}{\tau^2} \left[ 1 - 2e^{-\frac{t}{\tau}} + e^{-\frac{2t}{\tau}} \right]$ 
 $= \frac{f^2 B_0^2 L^2 \tau}{m^2 B_0^2 L^2} \left[ \dots \right] \Rightarrow \boxed{\mathcal{P}_{\text{dim}} = \frac{f^2 \tau}{m} \left[ 1 - 2e^{-\frac{t}{\tau}} + e^{-\frac{2t}{\tau}} \right]}$

$\frac{dE_c}{dt} = \mathcal{P}_{\text{op}} - \mathcal{P}_{\text{dim}}$ 
 $\rightarrow E_c(\infty) - E_c(0) = \frac{f^2}{m} \int_0^\infty \left( 1 - e^{-\frac{t}{\tau}} \right) - \left( 1 - 2e^{-\frac{t}{\tau}} + e^{-\frac{2t}{\tau}} \right) dt.$

$= \frac{f^2}{m} \int \left( e^{-\frac{t}{\tau}} - e^{-\frac{2t}{\tau}} \right) dt$

$E_c(\infty) - E_c(0) = \frac{f^2}{m} \left[ -\tau \underbrace{\left[ e^{-\frac{t}{\tau}} \right]_0^\infty}_{=1} - \left( -\frac{\tau}{2} \right) \underbrace{\left[ e^{-\frac{2t}{\tau}} \right]_0^\infty}_{=1} \right] = \frac{f^2}{m} \left( \tau - \frac{\tau}{2} \right) = \frac{f^2 \tau^2}{2m}$

\* Or  $E_c(0) = 0$  et  $E_c(\infty) = \frac{1}{2} m S_\infty^2 = \frac{1}{2} m \frac{f^2 \tau^2}{m^2} = \frac{f^2 \tau^2}{2m}$

OIC

Rg:  $S_{\text{lin}} = \frac{f}{m}$

\* Bilan d' NRS: ②  $\mathcal{P}_{\text{gen}} = E_o \cdot i$  et  $i = \frac{E_o + e}{R} = \frac{E_o}{R} + \frac{B_0 L}{R} \frac{-E_o}{B_0 L} \left( 1 - e^{-\frac{t}{\tau}} \right)$

 $\boxed{\mathcal{P}_{\text{gen}} = \frac{E_o^2}{R} e^{-\frac{t}{\tau}}}$ 
 $\Leftrightarrow \boxed{i = + \frac{E_o}{R} e^{-\frac{t}{\tau}}}$

$\boxed{\mathcal{P}_{\text{dim}} = R i^2 = \frac{E_o^2}{R} e^{-\frac{2t}{\tau}}}$ 
 $E_{\text{gen}} = \int_0^\infty \mathcal{P}_{\text{gen}} dt = \frac{E_o^2}{R} \left( -\tau (-1) \right) = + \frac{E_o^2 \tau}{R}$

$E_{\text{dim}} = \frac{E_o^2}{R} \left( -\frac{\tau}{2} \right) (-1) = \frac{1}{2} \frac{E_o^2 \tau}{R}$ 
 $E_{\text{gen}} - E_{\text{dim}} = \frac{1}{2} \frac{E_o^2 \tau}{R} = \frac{1}{2} \frac{m E_o^2}{B_0^2 L^2}$

Or  $\Delta E_c = \frac{1}{2} m S_\infty^2 - 0 = \frac{1}{2} m \frac{E_o^2}{B_0^2 L^2}$  Yon pii?

③ Conversion électromécanique:  $\frac{\text{Von an der}}{\text{gute idp}}$

$$e = \int_T \vec{E}_{\text{em}} \cdot d\vec{l}_p \quad \mathcal{P}_{\text{fem}} = ei = e \frac{dq}{dt} = \int_T \vec{E}_{\text{em}} \cdot d\vec{l}_p \frac{d\vec{l}_p}{dt} = \int_T \vec{E}_{\text{em}} \cdot dq \vec{v}_p$$

Si: tem des point en point p  $\vec{s}_p = \frac{d\vec{l}_p}{dt}$  ← distance parcourue par la charge

holomie

$$\vec{E}_{\text{em}} = \sum_{\text{cond}} \vec{A} \wedge \vec{B}$$

circuit mobile

$$\begin{aligned} \mathcal{P}_{\text{fem}} &= \int_T (\vec{s}_{\text{cond}} \wedge \vec{B}) \cdot d\vec{l}_p = - \int (\vec{d}\varphi_p, \vec{s}_p \wedge \vec{B}) \cdot \vec{s}_{\text{cond}} = - \int (\vec{d}\varphi_p, \frac{\vec{d}\vec{l}_p}{dt} \wedge \vec{B}) \cdot \vec{s}_{\text{cond}} \\ &= - \int [I \vec{d}\vec{l}_p \wedge \vec{B}] \cdot \vec{s}_{\text{cond}} = - \int dF_{\text{app}} \cdot \vec{s}_{\text{cond}} = - \mathcal{P}_{\text{def}}. \end{aligned}$$

Sit

$$\boxed{\mathcal{P}_{\text{fem}} + \mathcal{P}_{\text{def}} = 0}$$

Conversion électro-mécanique

Rq: calcul de e avec  $E_{\text{em}}$ :

$$\vec{E}_{\text{em}} = \vec{s}_{\text{cond}} \wedge \vec{B}_0$$

$\vec{s}_{\text{cond}}$ : si: tem du circuit mobile

$$\vec{E}_{\text{em}} = i \hat{e}_x \wedge -B_0 \hat{e}_y = +B_0 i \hat{e}_y$$

$$\begin{array}{l} \text{Diagramm: } \begin{array}{c} x \\ \downarrow \\ y \\ \rightarrow \\ z \end{array} \\ e = \int_T \vec{E}_{\text{em}} \cdot d\vec{l} = \int_0^L B_0 i \hat{e}_y \cdot d\hat{e}_y = B_0 i L \end{array}$$

$$\boxed{e = B_0 i L}$$

$$\boxed{\vec{E}_{\text{em}} = -\frac{\partial \vec{A}}{\partial t} + \vec{s}_{\text{cond}} \wedge \vec{B}_0}$$

$$\vec{B} = \vec{\nabla} \times \vec{A}$$

$\vec{A}$ : potentiel vect

$$\boxed{\vec{A} = \frac{1}{4\pi\epsilon_0} \int \frac{i d\vec{l}_p}{||\vec{P} \vec{r}||}}$$

$$e = \oint \vec{E}_m \cdot d\vec{l}_p$$

$$e_i = \oint \vec{E}_m \cdot i \vec{dl}_p$$

2. <sup>erste</sup> erne.

$\vec{E}_m^{(n)} = \vec{v}_{\text{cond}}^{(n)} / \vec{B}^{(n)}$

s.t.  $P_{\text{far}} = e_i = \oint [\vec{v}_{\text{cond}} \wedge \vec{B}(p)] \cdot i \vec{dl}_p$

$$\begin{aligned} &= \oint [\vec{B} \wedge i \vec{dl}_p] \cdot \vec{v}_{\text{cond}} = - \underbrace{\oint [i \vec{dl}_p \wedge \vec{B}(p)]}_{\text{of } P_{\text{Ldp}}(p)} \cdot \vec{v}_{\text{cond}} \\ &= - \oint i \vec{dl}_p \cdot \vec{P}_{\text{Ldp}}(p) = - P_{\text{Ldp}}. \end{aligned}$$

$P_{\text{far}} + P_{\text{Ldp}} = 0$

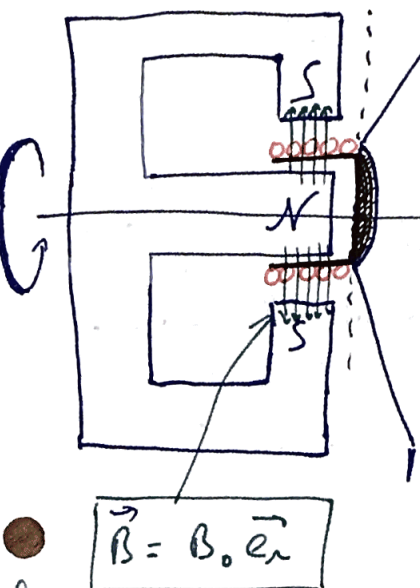
## II) Courant permanent électrostatique

### ① Description du HP

BDF

Membrane chargée  $\Rightarrow$  Force de rappel

$$\vec{T} = -k \vec{z} \vec{e}_z$$



⊗ frottement avec l'air

$$\vec{f} = -\lambda \vec{z} \vec{e}_z$$

### ⊗ Force de Laplace :

$N S p i n e$



$$\vec{F}_{Lap} = N \int_{\text{Spin}} i d\vec{l} \wedge \vec{B}_d(n)$$

$$= N i \int_{\frac{R}{2\pi R}}^{R} r d\theta \vec{e}_\theta \wedge \vec{B}_0 \vec{e}_r$$

$$\text{Sait } \vec{F}_{Lap} = -N 2\pi R B_0 i \vec{e}_z$$

$$\vec{F}_{Lap} = -l B_0 i \vec{e}_z$$

Champ magnétique radial.

### équation mécanique :

$$m \ddot{z} = -k z - \lambda z - l B_0 i$$

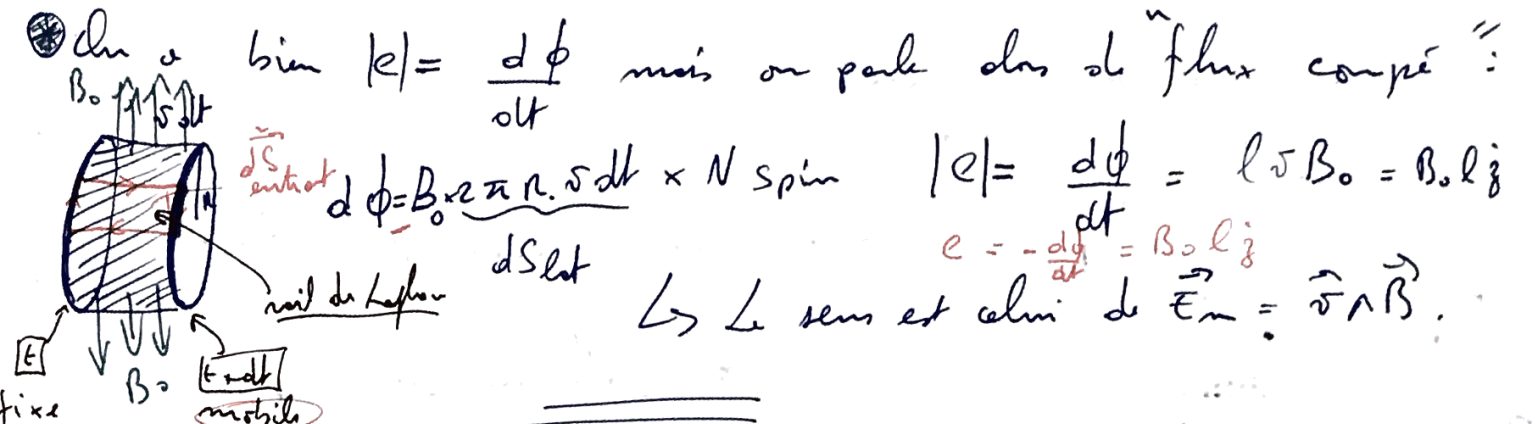
### ② Flux coupé : La f.e.m induite peut être obtenue en pb $\phi = 0$ et... utilisant la conversion électromécanique réalisée au sein du conducteur:

$$\vec{F}_{Lap} + \vec{F}_{fan} = 0 \quad \text{Sait } e i = -\vec{F}_{Lap} \cdot \vec{s} = -(-l B_0 i \vec{e}_z) \cdot (\vec{z} \vec{e}_z)$$

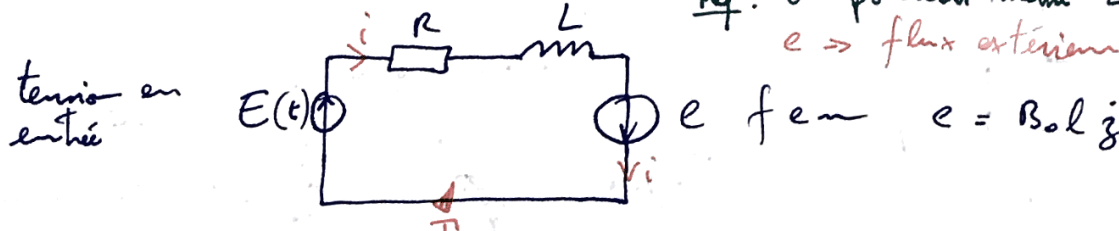
$$e i = + B_0 l \vec{z} \times i \quad c = + B_0 l \vec{z}$$

Rq: On montre que  $e = \oint \vec{E}_m d\vec{l}$  avec  $\vec{E}_m = \vec{s} \wedge \vec{B} = \vec{z} \vec{e}_z \wedge \vec{B}_0 \vec{e}_r = + B_0 j \vec{z}$

$$\text{Sait } e = N \int_0^{\frac{R}{2\pi R}} (B_0 \vec{z} \vec{e}_r) \cdot (r d\theta \vec{e}_\theta) = N B_0 \vec{z} \frac{R}{2\pi R} = B_0 l \vec{z}$$



ex<sup>o</sup> électrique: On utilise un modèle de circuit.



Soit  $E(t) = R i + L \frac{di}{dt} - e$  Soit

Rq: on pourra mettre L dans e  
 $e \rightarrow$  flux extérieur constant.

$$\textcircled{1} \quad \frac{di}{dt} + \frac{R}{L} i - \frac{B_0 l}{L} \dot{\theta} = \frac{E(t)}{L}$$

$$\omega_0 = \sqrt{\frac{R^2}{m}}$$

$$\varphi = \frac{1}{2} \sqrt{\frac{R^2}{m}} t$$

$$\textcircled{2} \quad \frac{d^2\varphi}{dt^2} + \frac{\omega_0}{Q} \frac{d\varphi}{dt} + \omega_0^2 \varphi = - \frac{l B_0}{m} i$$

$E_g^o$  Elec

$E_g^o$  Néco

③ RSE  $\textcircled{1} \quad (\jmath wL + R) i - \jmath w \cdot B_0 l \cdot \underline{\varphi} = \underline{E}$

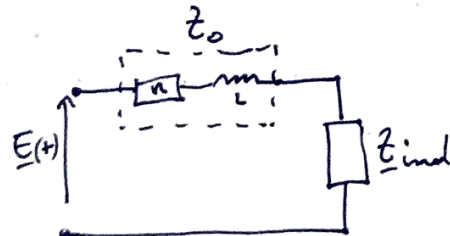
$$\textcircled{2} \quad [\omega_0^2 - \omega^2] \cdot \underline{\varphi} + \jmath \frac{\omega \omega_0}{Q} \cdot \underline{\varphi} = - \frac{l B_0}{m} i$$

$$\underline{\varphi} = i \frac{- \frac{l B_0}{m}}{[\omega_0^2 - \omega^2] + \jmath \frac{\omega \omega_0}{Q}}$$

Soit  $\frac{\underline{E}}{i} = \jmath \omega L + R + \frac{\jmath \omega \frac{B_0 l^2}{m}}{[\omega_0^2 - \omega^2] + \jmath \frac{\omega \omega_0}{Q}}$

Le terme  $\underline{Z}_{ind}$  est l'impédance induite par le couplage électronique.

Soit le modèle électrique du HP en RSE



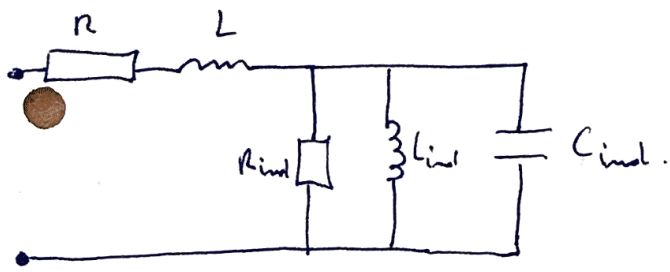
électrique

Modéliser le mouvement :  $\underline{E} = (\underline{z}_0 + \underline{z}_{\text{ind}}) i$

avec  $\underline{z}_0 = R + j\omega L$ , sans couple en

$$\underline{z}_{\text{ind}} = \frac{j \frac{\omega}{\omega_0} \cdot \left( \frac{B_0 l}{m} \right)^2}{1 - \left( \frac{\omega}{\omega_0} \right)^2 + j \frac{\omega}{\omega_0}} = \frac{\frac{(B_0 l)^2}{m \omega_0}}{\frac{1}{Q} + j \left[ \frac{\omega}{\omega_0} - \frac{\omega_0}{\omega} \right]}$$

$$\frac{1}{\underline{z}_{\text{ind}}} = \frac{m \omega_0}{(B_0 l)^2 Q} \frac{1}{1 - \left( \frac{\omega}{\omega_0} \right)^2} + j \frac{\omega}{m \omega_0 (B_0 l)^2} + \frac{1}{j \omega \frac{(B_0 l)^2}{m \omega_0^2}} = \frac{1}{R_{\text{ind}}} + j \omega C_{\text{ind}} + \frac{1}{j \omega L_{\text{ind}}}$$



$$R_{\text{ind}} = \frac{(B_0 l)^2 Q}{m \omega_0} = \frac{(B_0 l)^2}{m \sqrt{k}}$$

$$R_{\text{ind}} = \frac{(B_0 l)^2}{m}$$

$$L_{\text{ind}} = \frac{(B_0 l)^2}{k}$$

$$C_{\text{ind}} = \frac{m}{(B_0 l)^2}$$

~~Homogène~~ ~~Particular~~ ~~Résonance~~  $\omega = \omega_0$

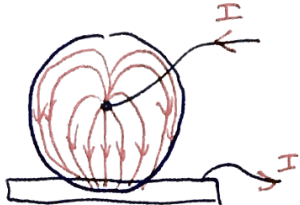
Bilan de puissance:  $L D n \times i \quad \frac{d}{dt} \left( \frac{1}{2} L i^2 \right) + R i^2 - e i = E i$

$e i = -F_{\text{ext}} \dot{z}$        $\oplus$  PFO + S       $\frac{d}{dt} \left( \frac{1}{2} m \dot{z}^2 \right) + \lambda \dot{z}^2 + \frac{d}{dt} \left( \frac{1}{2} h \dot{z}^2 \right) - F_{\text{ext}} \dot{z} = 0$

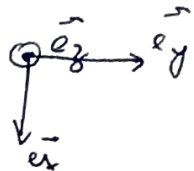
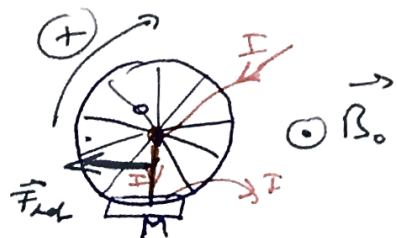
$-e i - F_{\text{ext}} \dot{z} = 0$        $E i = \frac{d}{dt} \left[ \frac{1}{2} L i^2 + \frac{1}{2} h \dot{z}^2 + \frac{1}{2} m \ddot{z}^2 \right] + R i^2 + \lambda \dot{z}^2 + 0$

$E_{\text{mag}}$        $E_p^{\text{el.}}$        $E_c$

### III Etude de la force de Bonhom



→ Nodale Simple.



$$\text{BDF} \rightarrow \text{Action extérieure: } \vec{M}_o(km) = \int_0^R \vec{o}n \wedge d\vec{F}_{ext}(r)$$

$$d\vec{F}_{ext} = I dl \wedge \vec{B}_0 = I dr \hat{e}_x \wedge B_0 \hat{e}_y = -B_0 I dr \hat{e}_y$$

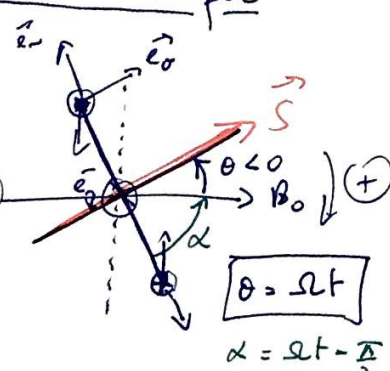
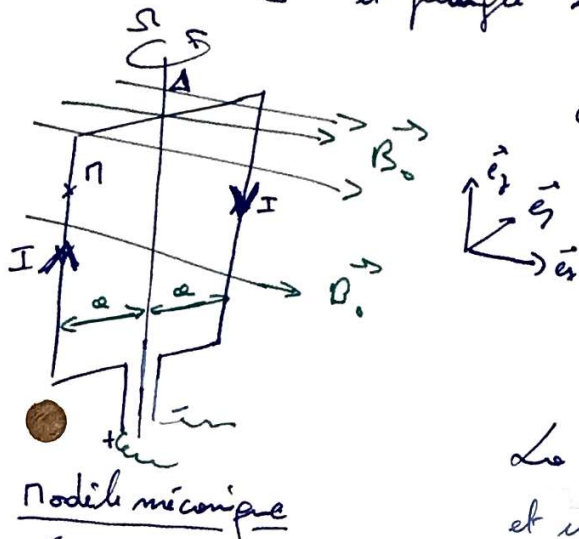
$$\vec{M}_o = \int_0^R (n \hat{e}_x) \wedge (-B_0 I dr \hat{e}_y) = -B_0 I \underbrace{\int_0^R r dr}_{\frac{R^2}{2}} \cdot \hat{e}_y = -B_0 I R \times \frac{R}{2} \hat{e}_y$$

Tout se passe comme si la force de Léger s'exerçait au centre du rayon.

## IV Etude du mouvement constant continu : Spire rectangulaire plongée dans un champ $B_0$ uniforme

(1) Constante

On considère une spire rectangulaire de hauteur  $H$  et de largeur  $z_a$  de moment d'inertie  $I_S$  qui tourne à Système angulaire seant d'un axe  $\vec{S}$  et plongée dans un champ  $\vec{B}_0$  uniforme  $\vec{B}_0 \perp \vec{e}_x = \vec{e}_y$



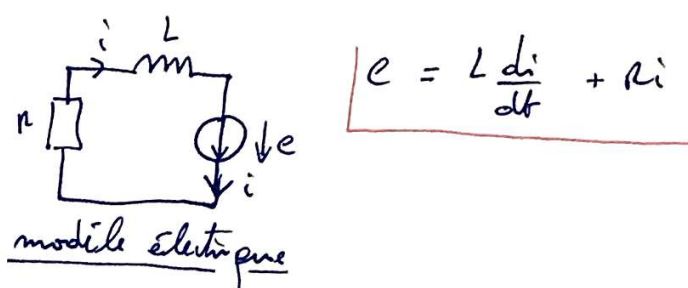
$$\text{On a vu que } \boxed{\phi = \vec{B}_0 \cdot \vec{S}}$$

$$\vec{B}_0 = B_0 \hat{e}_z$$

et

$$\boxed{T_m = \vec{M} \wedge \vec{B}_0 = I_S \vec{S} \wedge \vec{B}_0}$$

La spire rectangulaire a une résistance  $R$  et une inductance propre  $L$ . Soit le modèle:



$$\underline{\text{éq° électrique: }} e = - \frac{d\phi}{dt} \text{ ou } \phi = \vec{B}_0 \cdot \vec{S} = z_0 H B_0 \cos(\omega t)$$

$e$  t de complexe

LDN

$$\boxed{\frac{di}{dt} + \frac{R}{L} i = \frac{\phi_0}{L} \sin(\omega t)}$$

$$\text{Soit } \underline{e = + z_0 H B_0 \omega \sin(\omega t)}$$

éq° mécanique: Bilan des acc° ext: \*  $\vec{T}_{ext}$  : charge en moteur.

$$* \vec{T}_m = \vec{M} \wedge \vec{B}_0 = - i \cdot z_0 H B_0 \sin(\omega t)$$

$$\theta = \omega t$$

TNC

$$\boxed{\cancel{J \frac{d\theta}{dt}} = T_{ext} - i \cdot z_0 H B_0 \sin(\omega t)}$$

$$\tau = \frac{L}{R}$$

$$\phi_0 = z_0 H B_0$$

éq° complè

$$\left\{ \begin{array}{l} \frac{di}{dt} + \frac{1}{\tau} i = \phi_0 \frac{\omega}{L} \sin(\omega t) \\ \frac{d\theta}{dt} = \frac{T_{ext}}{J} - \phi_0 \frac{i}{\tau} \sin(\omega t) \end{array} \right.$$